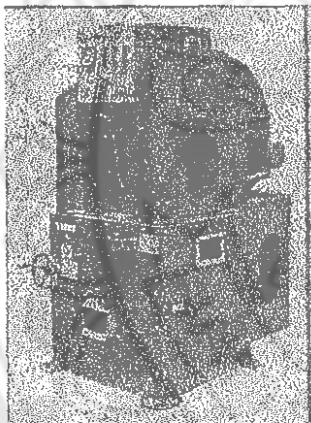


บทที่ 2

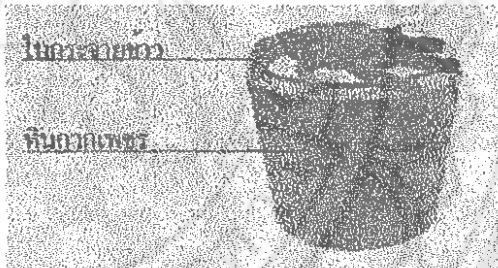
หลักการและทฤษฎี

2.1 รูป่างและลักษณะของเครื่องขัดข้าว

ลักษณะการทำงานของเครื่องขัดข้าวนี้การวางหินขัดข้าวขาในแนวตั้งมีข้าวเปลือกลงมาจากด้านบน บริเวณรอบหินขัดข้าวขาจะมีตะแกรงอยู่บริเวณรอบ ๆ ความเร็วรอบของหินขัด 500 รอบ ต่อนาทีเครื่องขัดข้าวขาจะมีนาคของหินขัดเส้นผ่านศูนย์กลางที่ด้านบนขนาด 420 mm ด้านล่างเส้นผ่านศูนย์กลาง 340 mm โดยมีรูป่างเป็นแท่งทรงกรวยที่ด้านบนมีขนาดใหญ่ กว่าด้านล่าง



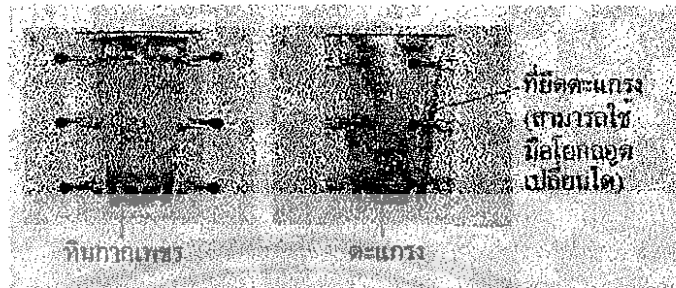
เครื่องขัดข้าวขาแบบหินกาภพชร



หินขัดข้าวขาแบบหินกาภพชร

รูป 2.1 เครื่องขัดข้าวขาแบบหินกาภพชรและหินขัดข้าวขาแบบหินกาภพชร

(ที่มา : บริษัทไรซ์ เอ็นจิเนียริ่ง ซัพพลาย จำกัด)

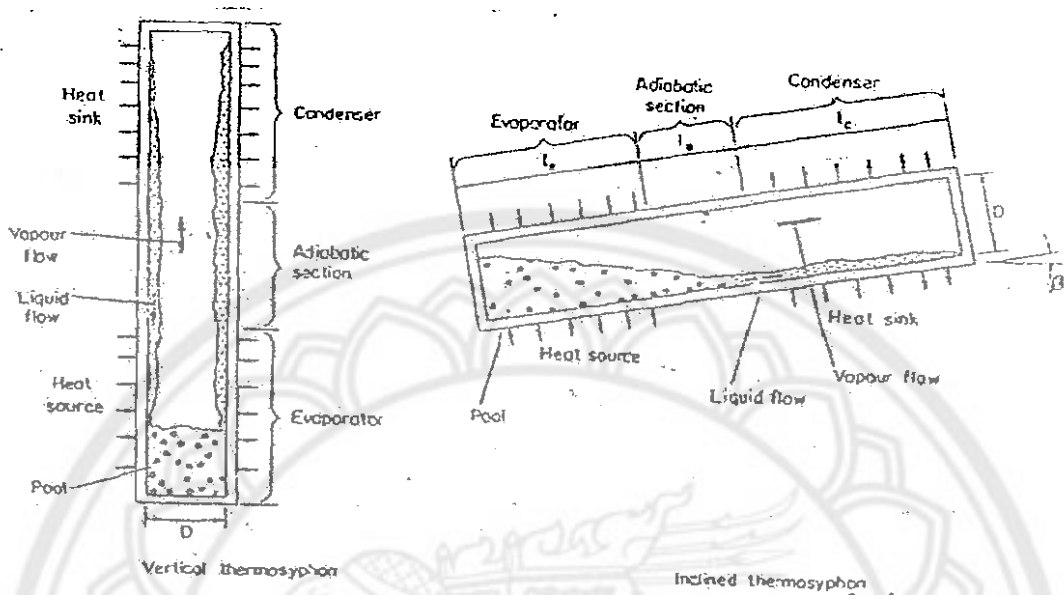


รูป 2.2 ตะแกรงหินขัดข้าวขาว
(ที่มา: บริษัทไรซ์ อินโนเวชันส์ พลัฟแลย์ จำกัด)

2.2 เทอร์โมไชฟอน (Thermosyphon)

ท่อเทอร์โมไชฟอนหรือการลักษณะร้อนมีโครงสร้างดังรูป 2.3 ประกอบด้วยส่วนสามคือ ส่วนทำระเหย (Evaporating Section) ส่วนที่ไม่มีการถ่ายเทความร้อน (Adiabatic Section) และส่วนควบแน่น (Condensing Section) โครงสร้างทั้งหมดจะรวมกันอยู่ในท่อปิด ภายในท่อเทอร์โมไชฟอนจะบรรจุสารทำงาน R134a โดยส่วนที่ควบแน่นจะอยู่สูงกว่าส่วนทำระเหย เพื่อที่จะใช้ แรงโน้มถ่วงของ โลกช่วยในการไหลของสารทำงานจากส่วนควบแน่นลงมาสู่ส่วนทำระเหย

เทอร์โมไชฟอนมีอยู่หลายแบบ ในโครงการนี้ใช้เทอร์โมไชฟอนแบบสองสถานะหมุนตามแนว แกนแบบท่อร่วมศูนย์ เนื่องจากจะต้องนำไปติดตั้งกับหินขัดข้าวขาวซึ่งขณะทำงานจะหมุนรอบแกนคึ่ง



รูป 2.3 ท่อเทอร์โมไซฟันแบบแนวตั้งและแนวเอียง

(ที่มา : Heat pipe-performance of two-phase closed thermosyphon , Engineering sciences data)

2.2.1 หลักการทำงานของท่อเทอร์โมไซฟัน

แหล่งความร้อน (Heat Source) จะอยู่ต่ำกว่าแหล่งระบายความร้อน (Heat Sink) โดยที่ความร้อนจะถ่ายเทเข้าส่วนทำงาน สารทำงานจะเดือดและเปลี่ยนสถานะกล้ายเป็นไอ ส่วนที่เป็นไอของสารทำงานจะถูกดึงตัวขึ้น และระบายความร้อนออกที่ส่วนควบคุม แล้วกลับคืนคัวกล้ายเป็นของเหลวใหม่ เคลื่อนผ่านท่อเป็นแผ่นฟิล์มบางๆ กลับสู่ส่วนทำงานอีกครั้งด้วยแรงโน้มถ่วงของโลกทำให้การทำงานของท่อเทอร์โมไซฟันเป็นไปได้อย่างต่อเนื่อง ท่อเทอร์โมไซฟันมีความสามารถในการนำความร้อนได้ดี เพราะความร้อนที่ได้เป็นความร้อน latent heat ที่ได้จากการเปลี่ยนสถานะของสารทำงาน

2.2.2 เทอร์โมไซฟันแบบสองสถานะหมุนตามแนวแกนแบบท่อร่วมศูนย์

เทอร์โมไซฟันแบบหมุนแบ่งออกเป็น 2 ประเภท ได้แก่ เทอร์โมไซฟันแบบสถานะเดียว และเทอร์โมไซฟันแบบสองสถานะ และสามารถแบ่งตามตำแหน่งของท่อออกเป็น ท่อร่วมศูนย์กลาง และท่อเยื่องศูนย์กลาง

การพิจารณาความร้อนแบบสองสถานะ ซึ่งเน้นถึงบทบาทของผิวสัมผัสระหว่างสารทำงานกับไอ รูปทรงและการเปลี่ยนแปลงเสถียรภาพของการไหล

ในระบบหมุนร่วมศูนย์กลาง รูป 2.4 ได้แสดงให้เห็นถึงการไหลเวียนในตอนแรกของท่อซึ่งมีการกำหนดเดินผ่านศูนย์กลางภายใต้สภาวะการณ์ที่ว่า ความเร็วของการหมุนจะสูงพอที่จะทำให้เกิดการไหลเคลื่อนผิวคลอตทึบหนังได้ที่ความเร็วสูง ของเหลวจะเคลื่อนหนังไว้ทึบหนด เป็นลักษณะของแผ่นฟิล์ม พลัมเคลื่อนที่ด้วยผล 3 ประการคือยกันคือ

1. แรงดึงดูด จะทำไก่กับป้ายห่อที่ปิดอยู่ซึ่งมีผลกระทบต่อการไหลเวียนในขณะที่สารทำงานจะถูกแรงกระทำเมื่ยองออกไปด้านนอก
2. ระดับความแตกต่างของอุณหภูมิตามแนวแกน ทำให้เกิดระดับความแตกต่างของความคันตามแนวแกน
3. แผ่นฟิล์มจะค่อนข้างบางลงเรื่อยๆ ทำให้เกิดความแตกต่างตามแนวแกนของความคัน ดังนี้จะเป็นแรงขับหลัก และแผ่นฟิล์มจะเคลื่อนเข้าสู่ส่วนท่าระเหย

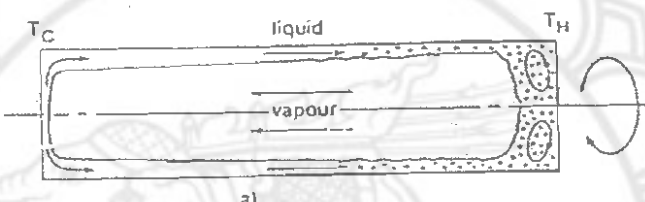
สมรรถนะของท่อส่วนความแน่นแบบร่วมศูนย์กลางนี้ สามารถมีค่าสูงขึ้นได้ โดยใช้ว่องคามแนวยาวย หรือว่าครึบในผิวคันในอย่างน้อยที่สุดการเพิ่มครึบคันใน ก็จะมีผลที่จะทำให้เพิ่มพื้นที่ผิว และลดความหนาของฟิล์มเฉลี่ย ผลในการสะบัดเหวี่ยงมากขึ้นถ้าหากว่าร่องเป็นแบบเกลียววน

อัตราการถ่ายเทความร้อนที่เพิ่มอาจจะเกิดขึ้นในส่วนท่าระเหยคือ ซึ่งแบบจำลองทั่วไปจะแสดงในรูป 2.4 แสดงให้เห็นว่า เกิดการรวมกันของการระเหยที่ผิวคันล่างของส่วนความแน่นถ้าหากว่าส่วน Adiabatic อาจจะทำให้ส่วนท่าระเหย และส่วนความแน่นห่างจากกันมาก ไอที่ขึ้นกลับมาส่วนท่าระเหย ก็จะมีระดับความร้อนยอดขึ้นเพิ่มขึ้น ทำให้สารทำงานส่วนความแน่นร้อนขึ้น มีอุณหภูมิเท่ากับอุณหภูมิอีกตัวคือ ขณะที่สารทำงานเข้าสู่ส่วนท่าระเหยนั้น สารทำงานยังคงมีความร้อนอยู่จึงทำให้เกิดการเดือดง่ายขึ้น และจะระเหยขึ้นไปในส่วนความแน่นทันที แต่ในทางตรงกันข้าม สารน้ำแรงเหวี่ยงหนีศูนย์นักจะเหนี่ยวนำให้เกิด สารทำงานเกาะที่ผิวส่วนท่าระเหย และจะทำให้การเดือดมีโอกาสที่จะคลองได้

ถ้าหากว่าเราใช้กลักรความร้อนแบบหมุนร่วมศูนย์กลาง ก็ค่อนข้างที่จะชัดเจนว่า การหมุนก็จะเสริมให้เกิดการเดือดในแอ่งส่วนท่าระเหย ซึ่งทำให้เกิดสภาวะการแห้งเร็วขึ้น ความเร่ง เมื่อจากแรงเหวี่ยงหนีศูนย์นี้จะช่วยลดตำแหน่งของการเกิดฟองขึ้นภายในผนังของส่วนท่าระเหย ในขณะเดียวกันก็จะเกิดอัตราส่วนของไอมีค่าสูงกว่าที่ไก่แบบแกนของท่อ ทำให้ เกิดผลสองประการคือ อุณหภูมิท่อสูงขึ้น และเกิดการทำท่วม (Flooding) คือสารทำงานระเหยคลายเป็นไอนากเกินไปทำ

ให้ไอของสารทำงานไปคืนสารทำงานส่วนควบคุมที่เป็นของเหลวไม่ให้ไหลลงมาในส่วนทำระเหย

อัตราการเติมสารทำงานที่เหมาะสมมีค่าประมาณ 10 – 14 % ของปริมาตรของห้องท่อที่ ความเร็วต่ำ หากว่ามีการเติมน้อยกว่านี้ แผ่นฟิล์มจะไม่ครอบคลุมส่วนท่าระเหยทึบหมัด ถ้าหากว่าหมุนด้วยความเร็วสูงขึ้น การถ่ายเทความร้อนจะน้อยลง และทำให้เกิดการแห้ง (Dry out) ซึ่งคือ ปริมาณของของเหลวที่เติมลงไปไม่เพียงพอที่จะปกคลุมท่อความร้อนทั้งหมดเหนือปลายห้องค่านล่างด้วยฟิล์มของเหลว สำหรับการเติมสารทำงานมากเกินไป ทำให้แผ่นฟิล์มหนาขึ้น อัตราการระเหยและอัตราการควบคุมลดลง



รูป 2.4 แบบจำลองเทอร์โมไฟฟอนสองสถานะหมุนร่วมกันแบบผังขนาด
(ที่มา : กาลักษณ์ความร้อน , พศ.ดร.ประคิษฐ์ เทอคทูต คณะวิศวกรรมศาสตร์ มหาวิทยาลัยเชียงใหม่)

2.2.3 การออกแบบห้องเทอร์โมไฟฟอน

2.2.3.1 อัตราการเติมสารทำงาน

อัตราการเติมสารทำงาน หมายถึง อัตราส่วนระหว่างปริมาตรของสารทำงานเป็นของเหลวที่ยังไม่ได้ให้ความร้อนต่อปริมาตรของส่วนท่าระเหย

สมการการเติมสารทำงาน (Liquid Fill) ในเทอร์โมไฟฟอน

$$F = V/AI_e \quad \dots \dots \dots \quad (2.1)$$

สมการตรวจสอบการเกิดการแห้ง (ปริมาณของของเหลวที่เติมลงไปไม่เพียงพอที่จะปกคลุมท่อความร้อนทั้งหมดเหนือค่านล่างของห้องท่อด้วยฟิล์มของเหลว)

$$V_i >= 0.001D(l_e + l_a + l_o) \quad \text{เมื่อไม่มี wick} \quad(2.2)$$

$$V_i >= 0.001D(l_e + l_o) + A l_e \mathcal{E} \quad \text{เมื่อมี wick} \quad(2.3)$$

Wick คือ ช่องทางให้ของสารทำงานภายใต้ความดันใน

2.2.3.2 ความต้านทานความร้อนรวม

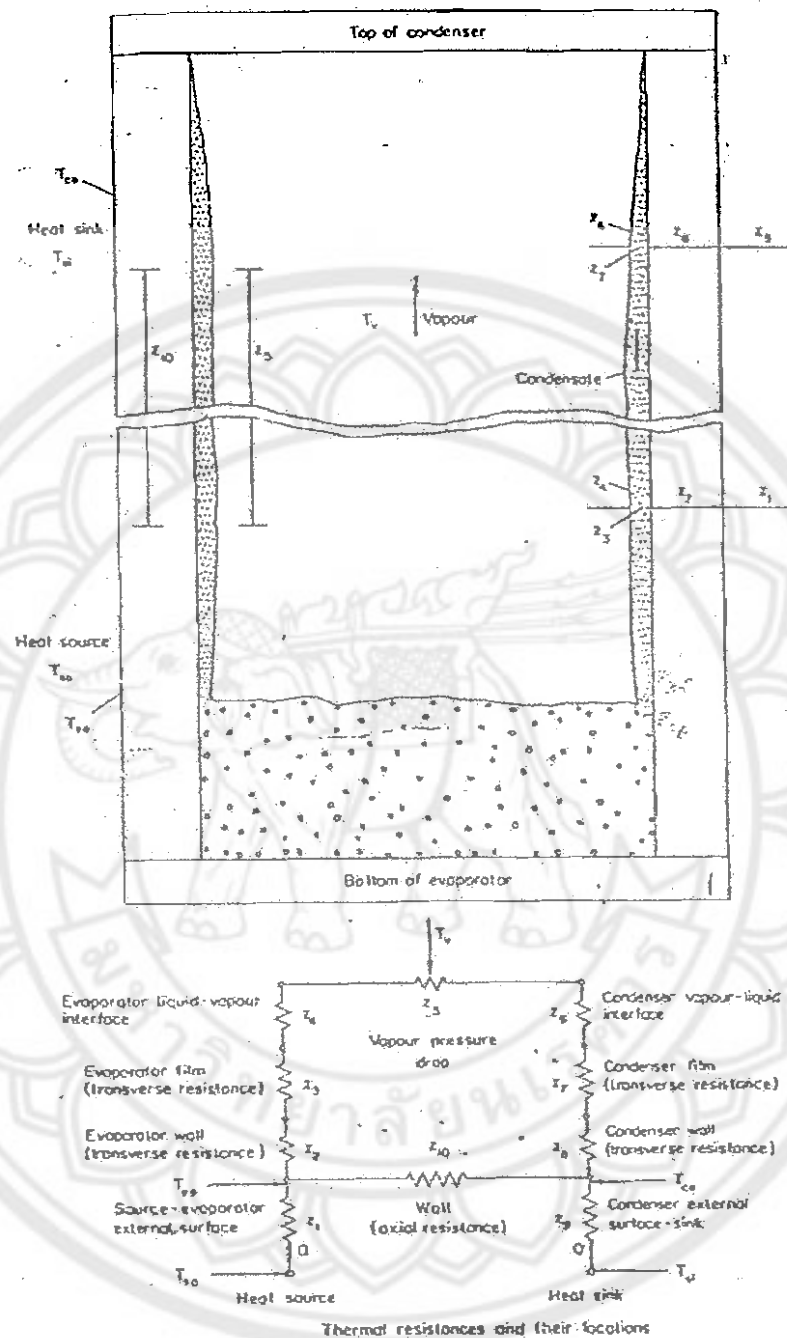
การหาอัตราการถ่ายเทความร้อน (Q) ของท่อความร้อนสามารถหาได้จากการหารากของความต้านทานความร้อนรวม (Z)

สมการความต้านทานความร้อนรวม

$$Q = \Delta T / Z \quad(2.4)$$

โดยที่ $\Delta T = T_{so} - T_{si} - \Delta T_h$ (2.5)

การหาความต้านทานความร้อนรวมจะทำได้โดยนำมาเขียนเป็นวงจรความต้านทานความร้อน Z_i ถึง Z_{lo} ดังรูป 2.5



รูป 2.5 คำแนะนำถ้าความต้านทานความร้อนและการใช้แรงงานความต้านทานความร้อน
(ที่มา : Heat pipe-performance of two-phase closed thermosyphon , Engineering sciences data)

Z_s และ Z_g คือ ค่าความต้านทานความร้อนระหว่างแหล่งความร้อน (Heat Source) กับผิวนอกของส่วนที่ทำระเหย และระหว่างผิวนอกของส่วนควบแน่นกับแหล่งระบายความร้อน (Heat Sink) ตามลำดับ

$$Z_s = 1/(h_{eo} * s_{eo}) \quad \dots\dots\dots(2.6)$$

$$Z_g = 1/(h_{co} * s_{co}) \quad \dots\dots\dots(2.7)$$

Z_2 และ Z_3 คือ ค่าความต้านทานความร้อนตลอดความหนาของผนังท่อในส่วนที่ทำระเหยและส่วนควบแน่น ตามลำดับ

$$Z_2 = \ln(D_o/D)/(2\pi l_e \lambda_x) \quad \dots\dots\dots(2.8)$$

$$Z_3 = \ln(D_o/D)/(2\pi l_c \lambda_x) \quad \dots\dots\dots(2.9)$$

Z_4 และ Z_6 คือ ค่าความต้านทานความร้อนของชั้นของเหลวที่กั้นตัวมาจากไอในส่วนของส่วนที่ทำระเหยและส่วนของส่วนควบแน่น ตามลำดับ

Z_4 และ Z_6 คือ ค่าความต้านทานความร้อนของผิวของเหลวกับไอภายในท่อเทอร์โน่ไฟฟอนซึ่งมีค่าน้อยมากสามารถตัดทิ้งได้

Z_5 คือ ค่าความต้านทานความร้อนเนื่องจากความดันที่ลดลงของไอที่ไหลจากส่วนที่ทำระเหยไปยังส่วนควบแน่น Z_5 มีค่าน้อยเมื่อเทียบกับ Z_2 และ Z_3

Z_{10} คือ ค่าความต้านทานความร้อนในแนวแกนของผนังท่อเทอร์โน่ไฟฟอน

$$Z_{10} = (0.5 l_e + l_a + 0.5 l_o) * (A_x \lambda_x) \quad \dots\dots\dots(2.10)$$

กรณีที่ $Z_{10} < 5\%$ จะสามารถตัดทิ้งได้โดยเทียบจาก

$$Z_{10}/(Z_2 + Z_3 + Z_4 + Z_5 + Z_g) > 20 \quad \dots\dots\dots(2.11)$$

โดยถ้า $Z_{10} > 20$ จะสามารถตัดทิ้งได้

และความต้านทานความร้อนรวม (Z) (กรณี Z_{lo} ไม่ตัดทิ้ง)

$$Z = (Z_1 + (Z_2 + Z_3 + Z_4 + Z_7 + Z_8)^{-1} + 1/Z_{lo})^{-1} + Z_s \quad \dots \dots \dots (2.12)$$

การถ่ายเทความร้อนภายในท่อเทอร์โมไฟฟอนจะมีลักษณะเหมือน Diode ถ้ากรณีที่ส่วนความแน่น (Condenser) มีอุณหภูมิสูงกว่าทางส่วนทำการหมุน (Evaporator) จะไม่มีการถ่ายเทความร้อนภายในและค่าความต้านทานความร้อนรวมจะมีค่าคงที่

$$Z = Z_1 + Z_s + Z_{lo} \quad \dots \dots \dots (2.13)$$

ค่าความต้านทานความร้อนภายในกรณี Z_4, Z_6 และ Z_8 สามารถตัดทิ้งได้ จะได้ว่า

$$\text{ความต้านทานภายใน} = Z_3 + Z_7 \quad \dots \dots \dots (2.14)$$

ข้อกำหนดพื้นฐานในการออกแบบ

- ต้องทราบ T_{so} หรือ T_s ตัวใดตัวหนึ่งและค่า Q ซึ่งจะทำให้คำนวณหาค่าอุณหภูมิของไอได้
- ต้องทราบ T_{so} และ T_s ซึ่งจะคำนวณหาค่าของ Q และ T_s ได้
- ต้องทราบ T_{eo} และ T_s ซึ่งจะคำนวณหาค่าของ Q และ T_s ได้
- ต้องทราบ T_{so} และ T_s ซึ่งจะคำนวณหาค่าของ Q ได้

อุณหภูมิผิวภายนอกของท่อในส่วนของแหล่งรับความร้อน (Evaporator)

$$T_{eo} = T_{so} - (Z_1/Z) * \Delta T \quad \dots \dots \dots (2.15)$$

อุณหภูมิผิวภายนอกของท่อในส่วนของแหล่งระบายความร้อน (Condenser)

$$T_{eo} = T_s - (Z_s/Z) * \Delta T \quad \dots \dots \dots (2.16)$$

ถ้า Z_s และ Z_{lo} น้อยมากจะสามารถคำนวณหาค่าอุณหภูมิของไอได้

$$T_s = T_{so} + ((Z_7 + Z_8 + Z_9) * \Delta T)/Z \quad \dots \dots \dots (2.17)$$

ถ้า Z_s ไม่สามารถตัดทิ้งได้จะสามารถคำนวณหาค่าอุณหภูมิของไอได้ในส่วนที่ระเหย (Evaporator) ได้โดยให้ T_w คือ อุณหภูมิของไอในส่วนควบแน่น

$$T_w = T_e + (Z_s * Q) \quad \dots \dots \dots (2.18)$$

2.2.3.3 ความต้านทานความร้อนภายใน (Internal Thermal Resistance)
ค่าความต้านทานความร้อนภายในสำหรับท่อผิวเรียบแนวตั้ง
ค่าความต้านทานความร้อนภายในพิล์มของเหลวที่ควบแน่นไอลดังน้ำตามท่อผิวเรียบ

$$Z_7 = CQ^{1/3}/(D^{4/3}g^{1/3}l_e\phi_2^{4/3}) \quad \dots \dots \dots (2.19)$$

เมื่อ $C = 0.235$

ϕ คือ คุณสมบัติทาง Thermophysical ที่เรียกว่า Figure of Merit
ค่า ϕ ของสารทำงานทั่วไปสามารถหาได้จาก Engineering Sciences Data Unit, London, 1980

สำหรับสมการที่ (2.19) ค่า Re_f จะอยู่ในช่วง $100 < Re_f < 1300$ ถ้าค่า Re_f มีค่ามากกว่านี้ ค่าความต้านทานที่บริเวณผิวของพิล์มจะลดลงและเพิ่มขึ้นเมื่อเป็นแบบปั่นป่วน (Turbulence)
ค่าความต้านทานความร้อนจากสารทำงานที่เกิดการระเหยในส่วนของส่วนที่ระเหย (Evaporator) คือ

$$Z_{3f} = CQ^{1/3}/(D^{4/3}g^{1/3}l_e\phi_2^{4/3}) \quad \dots \dots \dots (2.20)$$

ค่า Reynolds numbers สำหรับสมการ (2.20) สามารถหาค่าได้จาก

$$Re_f = 4Q/(L\mu\pi D) \quad \dots \dots \dots (2.21)$$

เมื่อ L คือ ค่าความร้อนจำเพาะของกการกล้ายปืนไอ
 μ คือ ค่าความหนืดของการไหลของของไอลด
ค่าความต้านทานการเดือดภายในแองของเหลวที่เป็นสองสภาวะ จะสามารถหาได้จากสมการ

$$Z_{3P} = 1 / (\phi_g^{0.2} Q^{0.4} (\pi D l_g)^{0.6}) \quad \dots \dots \dots \quad (2.22)$$

โดยที่

$$\phi_g = (p_t^{0.63} \lambda_t^{0.3} c_p^{0.7} / p_v^{0.23} L^{0.4} u_t^{0.1}) (p/p_a)^{0.23} \quad \dots \dots \dots \quad (2.23)$$

เมื่อ c_p คือ ค่าความถูกความร้อนจ้าเพาของเหลว

p_a คือ ความดันบรรยายกาศ

สำหรับสมการที่ (2.23) ให้เมื่อ $0.03 < p/p_a < 2$

คุณสมบัติทางพิสิกส์ของแอนโนเนน้ำที่ความดันบรรยายกาศเป็นดังนี้

$$\text{แอนโนเนน} \quad \phi_g = 56(p/p_a)^{0.23} \quad \dots \dots \dots \quad (2.24)$$

$$\text{น้ำ} \quad \phi_g = 63(p/p_a)^{0.23} \quad \dots \dots \dots \quad (2.25)$$

สำหรับผลกระทบของเทอร์โน่ไซฟอนสองสถานะแบบอิ่ม อาจทำให้สมการที่ (2.22)
และ (2.23) สามารถใช้กับค่า $p/p_a > 20$

ค่าความดันทานความร้อนที่คำนวณได้จากสมการ (2.22) จะมีค่าสูงกว่าค่าที่ได้จากการชิง

วิธีการประมาณค่าความดันทานความร้อนภายใต้เทอร์โน่ไซฟอนที่ผนังภายในเป็นผิวเรียบและไม่มี wick ท่ออยู่ในแนวตั้ง มีขั้นตอนการทำดังนี้

1. คำนวณ Z_7 จากสมการ (2.19)
2. คำนวณ Z_{3f} จากสมการ (2.20)
3. คำนวณ Re_f จากสมการ (2.21) ถ้า $50 < Re_f < 1300$ สามารถใช้ทฤษฎีนี้คำนวณได้
ถ้า $Re_f < 50$ จะไม่สามารถคำนวณได้จากวิธีนี้
ถ้า $Re_f > 1300$ จะใช้ค่า factor สำหรับการไหลดแบบปั่นป่วนในหัวข้อผลของการไหลด
แบบปั่นป่วนคือความดันทานความร้อนภายใต้
4. คำนวณ Z_{3P} จากสมการ (2.22)
5. ถ้า $Z_{3P} < Z_{3f}$ ให้ใช้ $Z_3 = Z_{3P}$ หรืออาจหาค่าเฉลี่ยของความดันทานความร้อนภายใต้
ส่วนทำระเหย (Evaporator), Z_3 , จากการ interpolation

5. ถ้า $Z_{3p} < Z_3$ ให้ใช้ $Z_3 = Z_{3p}$ หรืออาจหาค่าเฉลี่ยของความด้านท่านความร้อนภายในส่วนท่าระเหย (Evaporator), Z_3 , จากการ interpolation

$$Z_3 = Z_{3p}F + Z_3(I - F) \quad \dots\dots\dots(2.26)$$

เมื่อ F คือ ของเหลวที่เติมสามารถคำนวณจากสมการ $F = V/AI_e$

ค่าความด้านท่านความร้อนภายในสามารถที่จะลดได้ ถ้าเราทำการเพิ่มความชุกระในผนังด้านในของท่อเทอร์โมไชฟอน

ความแตกต่างของอุณหภูมิที่มีเหมือนกับแรงดันสถิติ

จากการทดลองที่ความคันตัวเป็นปัจจัยให้อุณหภูมิเปลี่ยนทำให้เกิดแรงดันสถิติในส่วนของแม่น้ำของเหลวในส่วนท่าระเหยของเทอร์โมไชฟอนแนวตั้ง ความคันในส่วนล่างของแม่น้ำของเหลวในส่วนท่าระเหยของท่อเทอร์โมไชฟอนสามารถหาได้จาก

$$p_p = p_v + \rho g Fl \sin\beta \quad \dots\dots\dots(2.27)$$

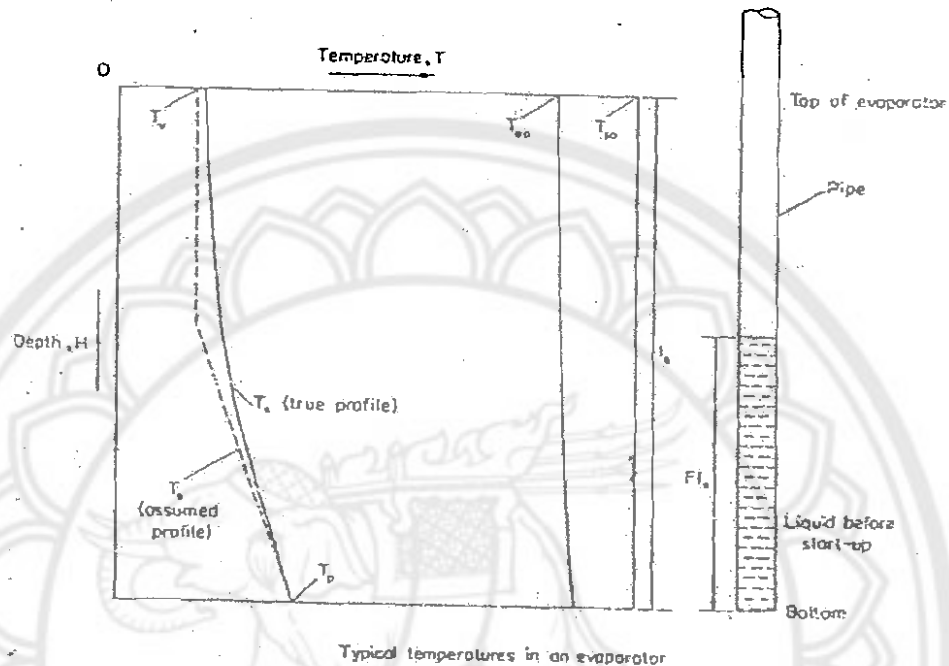
T_p คือ อุณหภูมิอัมตัวที่ด้านล่างของแม่น้ำของเหลวสามารถหาได้จากข้อมูลทางเทอร์โมไนนิกสำหรับการทำงานที่ความคันอัมตัว p_p

จากรูป 2.6 แสดงความสัมพันธ์ระหว่างอุณหภูมิต่าง ๆ และความลึกในส่วนท่าระเหย (Evaporator) ของท่อเทอร์โมไชฟอนระบบปีก 2 เฟส โดยอุณหภูมิของแหล่งกำเนิดความร้อน T_{so} , ไม่ขึ้นกับความลึก T_s คืออุณหภูมิอัมตัวของเหลวที่เดือดตามลักษณะของกราฟที่ขึ้นออก กราฟนี้จะไม่ละเอียกเท่ากับอุณหภูมิของไอในส่วนที่ไม่มีการถ่ายเทความร้อน (Adiabatic Section) และส่วนความแน่น (Condenser) T_v , ที่บันสุดของส่วนท่าระเหย (Evaporator) และนี่ค่าเพิ่มขึ้นไปตามความลึกจนถึง T_p ที่ด้านล่างของส่วนท่าระเหย (Evaporator) โดยอาจจะทำการสมนต์ได้ว่าอุณหภูมิของแม่น้ำในส่วนท่าระเหย (Evaporator) เท่ากับ T_p เมนีระดับของเหลวที่อยู่นั่ง และเพิ่มขึ้นเป็นเส้นตรงกับความลึกในระดับนี้ ดังนั้นอุณหภูมิเฉลี่ยของเหลวในส่วนท่าระเหย (Evaporator) คือ

$$T_{me} = T_v(I - F) + (T_p + T_v)(F/2) \quad \dots\dots\dots(2.28)$$

ดังนั้นความแตกต่างของอุณหภูมิเฉลี่ยเนื่องจาก hydrostatic head จะมีค่าเท่ากับ

$$\Delta T_h = T_{me} - T_v = (T_p - T_v)(F/2) \quad \dots\dots\dots(2.29)$$



รูป 2.6 ลักษณะของอุณหภูมิในส่วนท่าระเหย

(ที่มา : Heat pipe-performance of two-phase closed thermosyphon , Engineering sciences data)

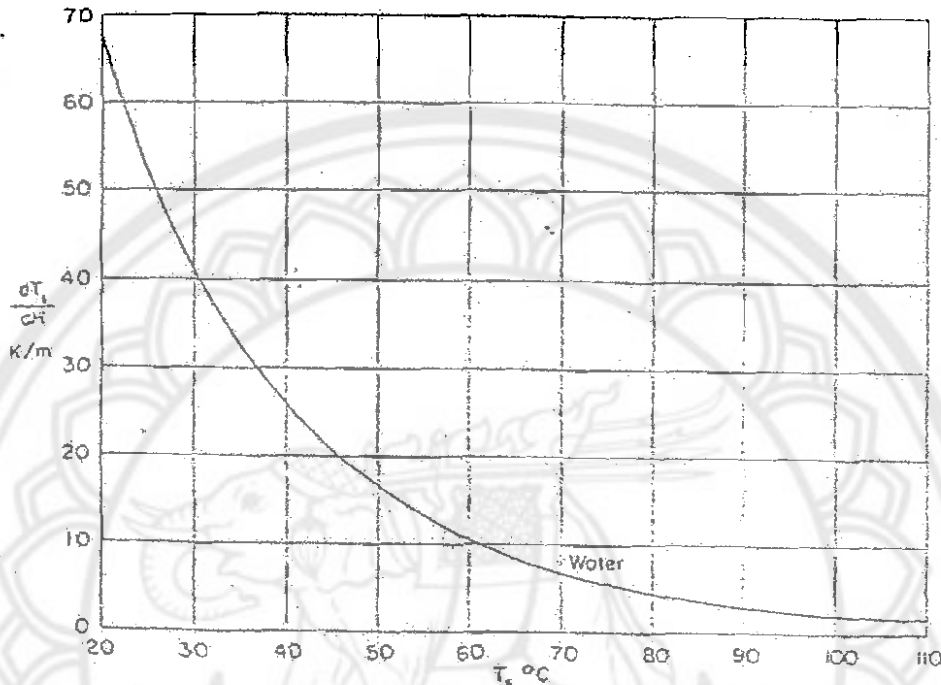
ถ้าข้อมูลทางเทอร์โมไดนามิกไม่สามารถหาได้สำหรับการทำงาน อัตราการเพิ่มของอุณหภูมิอิ่มตัว กับความลึกสามารถหาได้โดยรวมสมการ (2.27) กับสมการของ Clasusius – Clapeyron ได้ดังนี้

$$dT/dH = (T_g/L)((\rho/\rho_f) - 1) \quad \dots\dots\dots(2.30)$$

ถ้าการเปลี่ยนแปลงความลึกไม่มีผลกับคุณสมบัติ อุณหภูมิที่ค้านล่างของแอ่งของเหลวในส่วนท่าระเหยคือ

$$T_p = T_v + (dT/dH)l_e F \quad \dots\dots\dots(2.31)$$

รูป 2.7 ให้การเปลี่ยนแปลงอุณหภูมิอิ่มคัวของน้ำกับความลึก โดยเทียบค่ากันแอนโนเนีย ที่ 20°C คือ 0.2 K/m เปรียบเทียบกับ 80 K/m สำหรับน้ำ



รูป 2.7 ผลการทบทวน Hydrostatic Head ที่ Saturation Temperature
(ที่มา : Heat pipe-performance of two-phase closed thermosyphon , Engineering sciences data)

สำหรับการใช้ที่ ΔT_s แตกต่างกันเล็กน้อยจะกำหนดให้ $T_{me} = T_s$ แต่การกำหนดแบบนี้ควรจะด้องมีการตรวจสอบโดยเฉพาะเมื่อความดันไอน้ำยกกว่าความดันบรรยายกาศ

2.2.3.4 อัตราการถ่ายเทความร้อนสูงสุด (Maximum Rate of Heat Transfer)

อัตราการถ่ายเทความร้อนสูงสุดคือ ความแตกต่างของอุณหภูมิที่ผ่านท่อเทอร์โมไฟฟ่อนเพิ่มขึ้น เหตุการณ์นี้อาจเกิดขึ้นระหว่างการเดือด (Z_d เพิ่มขึ้น) หรืออาจจะเกิดขึ้นระหว่าง pressure drop ของไอน้ำมากเกินไป (Z_p เพิ่มขึ้น) หรืออาจเกิดขึ้นระหว่างปริมาณของเหลวที่ผิวห่อร้อนมีค่าเกินไปจะสังเกตว่าในหัวข้อนี้จะใช้กับท่อแนวตั้ง

2.2.3.5 จุดจำกัดของความดันไอ (Vapor Pressure Limit)

เมื่อใช้ห้องเทอร์โม ไชฟอนที่ความดันต่ำกว่าความดันบรรยายกาศ ความดันที่ลดลงของไออาจจะใช้เปรียบเทียบกับความดันในส่วนทำระเหย ถ้าความดันไอน้อยกว่าความดันในส่วนทำระเหยมากๆ ไอจะไม่ไหลไปยังค้านบนทำให้ห้องเทอร์โม ไชฟอนไม่สามารถถ่ายเทความร้อนได้

2.2.3.6 จุดจำกัดของคลื่นเสียง (Sonic Limit)

การทำงานที่ความดันต่ำจะเกิดจุดจำกัดของคลื่นเสียงที่สั้งเกตุเห็นได้ชัดเจนกว่าที่ความดันสูง สำหรับการประมาณค่าจุดจำกัดของคลื่นเสียงอย่างคร่าวๆ ได้จากมวลไอสูงสุดรอบแกนท่อ (The maximum axial vapour mass flux, $Q_{max}/(AL)$) ดังนี้

$$Q_{max}/AL = 0.5 * (p_v * \rho_v)^{0.5} \quad \dots \dots \dots (2.32)$$

สมการนี้มีหน่วยเป็น $\text{kg}/(\text{sm}^2)$ และจะใช้งานได้ดี ถ้าอุณหภูมิใช้งานสูงกว่าอุณหภูมนิบรรยายกาศ จุดจำกัดของคลื่นเสียงจะต่ำกว่าเงื่อนไขเริ่มต้น เมื่อของไหลทำงานมีอุณหภูมิเท่ากับอุณหภูมนิบรรยายกาศดังนั้นค่าความดันไอและความหนาแน่นของไอจะมีค่าต่ำกว่าเงื่อนไขการใช้งานมากโดยจะค่อยๆ ลดจากกระบวนการเริ่มต้น ตัวอย่างจุดจำกัดของเสียงในรูป Q/A สำหรับน้ำที่อุณหภูมิ 20°C มีค่าเท่ากับ 7.8 MW/m^2 สำหรับน้ำที่อุณหภูมิ 100°C มีค่าเท่ากับ 277 MW/m^2

2.2.3.7 จุดจำกัด Dryout

Dryout หมายความว่า ปริมาณของของเหลวที่เดินลงมาไม่เพียงพอที่จะปกคลุมท่อความร้อนทั้งหมดเนื่องปลายห่อตัวล่างด้วยฟิล์มของเหลว สำหรับห่อแนวตั้งฟิล์มของของเหลวที่ไหลลงมาในส่วนทำระเหยเกิดแห้งขึ้นก่อนที่ของเหลวจะไหลกลับลงมาซึ่งกันท่อ สำหรับห่อแบบเอียงการแห้งจะเกิดที่ส่วนบนสุดของส่วนทำระเหย

2.2.3.8 จุดจำกัดของการเดือด (Boiling Limit)

จุดจำกัดของการเดือด (Boiling Limit) เกิดขึ้นเมื่อฟิล์มกลایเม็น ไอลดอดเวลา ซึ่งเกิดขึ้นระหว่างของเหลวกับผนังร้อน (Heat wall) ของส่วนทำระเหย (Evaporator) ซึ่งฟลักซ์ความร้อนสูงสุดหากได้ดังนี้

$$Q_{max}/S_e = 0.12 * L * (\rho_v)^{0.5} * (\sigma * g * (\rho_l - \rho_v))^{0.5} \quad \dots \dots \dots (2.33)$$

เมื่อ $S_e (= \pi D^2 l)$ คือพื้นที่ผิวท่อภายในของส่วนทำระเหย (Evaporator) , σ คือแรงดึงผิวของของเหลว และ g คือ ความเร่งของแรงโน้มถ่วงโลก

ยกตัวอย่าง ขีดจำกัดการเดือด (Boiling Limit) สำหรับน้ำเท่ากับ 200 kW/m^2 ที่ 20°C เพิ่มสูงขึ้น 200 kW/m^2 ที่ 100°C ขีดจำกัดของคลื่นเสียง (Sonic Limit) เกิดขึ้นก่อนขีดจำกัดของการเดือด (Boiling Limit) ถ้าอัตราส่วนระหว่างความยาวต่อเส้นผ่านศูนย์กลาง (L/D) ของส่วนทำระเหย (Evaporator) มากกว่า 10 สำหรับอุณหภูมิการทำงานที่ 20°C และ มากกว่า 68 สำหรับอุณหภูมิการทำงานที่ 100°C

2.2.3.9 ขีดจำกัดของการไหลสวนทาง (Counter-current Flow Limit)

เหตุการณ์นี้จะเกิดขึ้นเมื่อของเหลวที่ใช้ในห้องเทอร์โมไฟฟอนเพื่อป้องกันการเกิด Dryout นั้นมีปริมาณมากเกินไป ทำให้เกิดการห่วนของของเหลวด้านอยู่โดยสารทำงานที่คล้ายเป็นไออกไซด์ด้านสารทำงานที่เป็นของเหลวที่ไหลลงมาไม่ให้ไหลลงแต่ได้ มวลของไออกไซด์ตามแนวแกนสามารถหาได้จาก

$$Q_{max}/AL = f_1 * f_2 * f_3 * (\rho_v)^{0.5} * (\sigma * g * (\rho_l - \rho_v))^{0.25} \quad \dots \dots \dots (2.34)$$

เมื่อ f_1 เป็นพิธีรันของ Bond number ซึ่งนิยามว่า

$$Bo = D * (g * (\rho_l - \rho_v) / \sigma)^{0.5} \quad \dots \dots \dots (2.35)$$

ค่าของ f_1 สามารถอ่านจากข้อ 2.8 และ $f_1 = 8.2$ เมื่อ $Bo > 11$

f_2 เป็นพิธีรันของพารามิเตอร์ความดัน (K_p) ซึ่งนิยามว่า

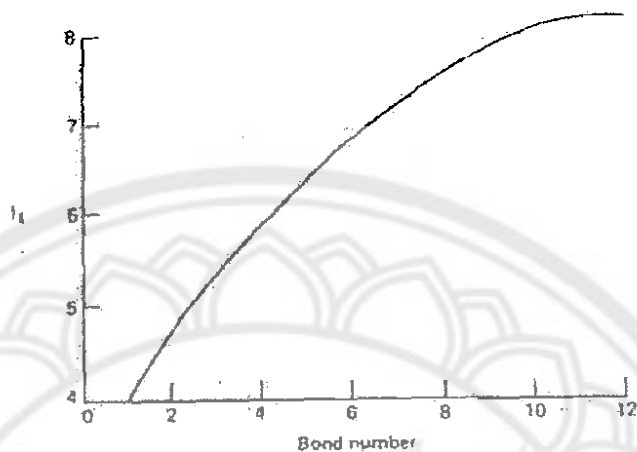
$$K_p = p_v / (g * (\rho_l - \rho_v) / \sigma)^{0.5} \quad \dots \dots \dots (2.36)$$

และ $f_2 = K_p^{-0.17}$ เมื่อ $K_p \leq 4 * 10^4$

และ $f_3 = 0.165$ เมื่อ $K_p > 4 * 10^4$

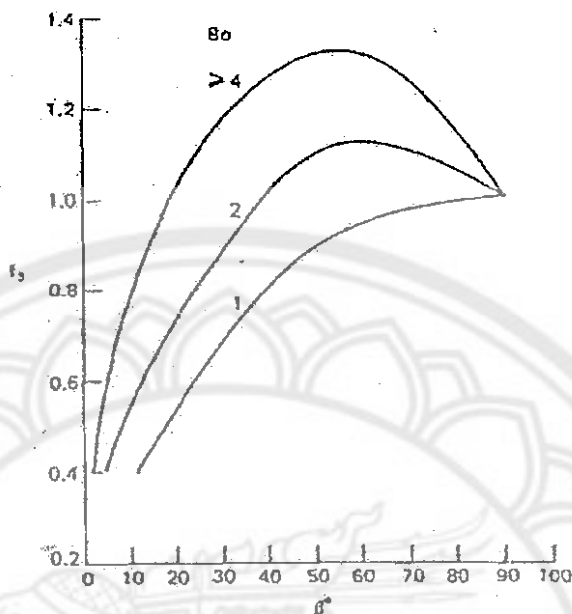
f_3 เป็นพิธีรันของห้องอุ่นและสามารถอ่านได้จากข้อ 2.9 โดยที่ f_3 ขึ้นอยู่กับมุมเอียงและ Bond number

ถ้าเป็นท่อแนวตั้ง $f_3 = 1$



รูป 2.8 การเปลี่ยนแปลงของ f_g ในสมการ 2.36 กับ BOND NUMBER

(ที่มา : Heat pipe-performance of two-phase closed thermosyphon , Engineering sciences data)



รูป 2.9 การเปลี่ยนแปลงของ f_1 ในสมการ 2.36 กับมุมอุ่น

(ที่มา : Heat pipe-performance of two-phase closed thermosyphon , Engineering sciences data)

2.3 สมนติฐานสมการพลังงานของหินขัดข้าวขาว

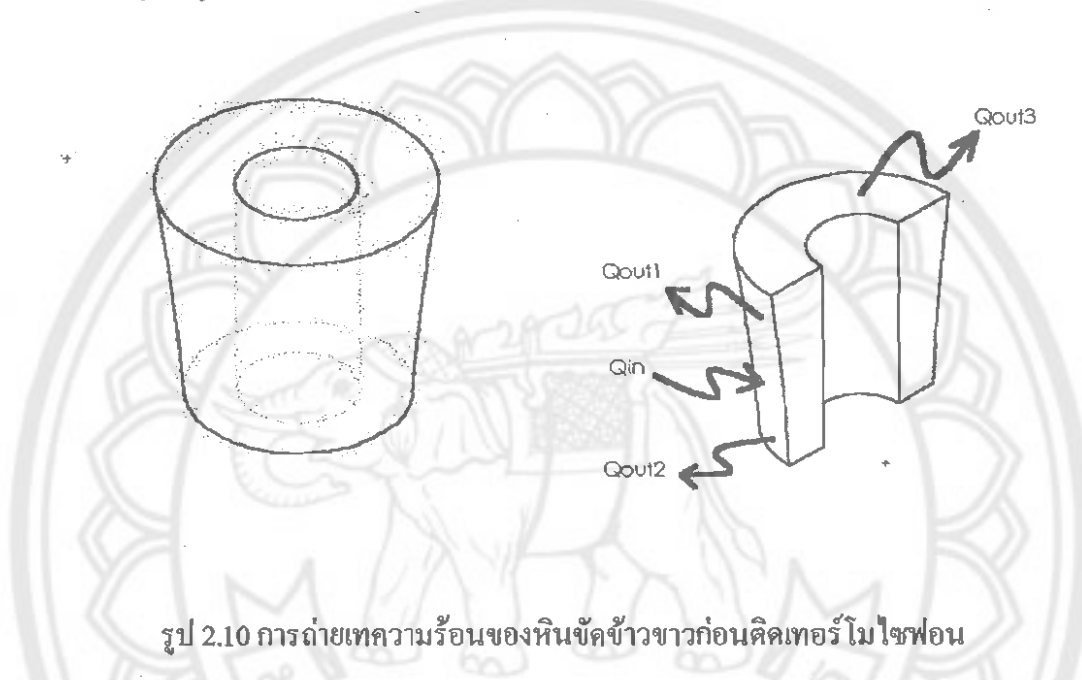
สมนติฐานในการคำนวณนี้ กำหนดให้อุณหภูมิของหินขัดข้าวขาวมีค่าเท่ากันทั้งหมดตลอดเนื้อหิน และการทำงานของเทอร์โมไชฟอนมีสภาวะคงที่จากรูป 2.10 ให้ Q_{in} เป็นอัตราการถ่ายเทาความร้อนที่เข้าสู่ผิวหินขัดทางด้านข้าง เมื่อหินขัดข้าวขาวได้รับความร้อนจากการขัดข้าวแล้วจะเกิดการสะสมความร้อนขึ้นในตัวหินขัดข้าวขาว หากนั้นจะมีการถ่ายเทาความร้อนออกจากตัวหินขัดใน 3 ส่วน คือในส่วนที่ 1 จะมีอัตราการถ่ายเทาความร้อนออกจากผิวหินขัดทางด้านข้าง และในอีก 2 ส่วน จะมีอัตราการถ่ายเทาความร้อนออกจากผิวเดลิกที่ปิดในส่วนหัวและส่วนท้ายของหินขัดข้าวขาว โดยที่อัตราการถ่ายเทาความร้อนจากการขัดข้าวเน้นจะสะสมอยู่ในหินขัดทำให้หินขัดมีอุณหภูมิสูงขึ้น จึงทำการสมนติอุณหภูมิที่เกิดขึ้นที่หินขัดข้าวขาวให้เท่ากับอุณหภูมิที่ให้ในส่วนการทำระเหย และใช้สมการพลังงานในการคำนวณหาอัตราการถ่ายเทาความร้อนเข้าสู่หินขัดข้าวขาวดังนี้

$Q_{in} = Q_{out1} + Q_{out2} + Q_{out3}$ ส่วนในขึ้นตอนที่นำเข้าชุดเทอร์โมไชฟอนเข้าไปติดแล้วดังรูป 2.11 ซึ่งเมื่อนำเข้าชุดเทอร์โมไชฟอนเข้าไปติดกับหินขัดข้าวขาวจะทำให้เกิดพิงก์ชั่นความสัมพันธ์ระหว่างชุด

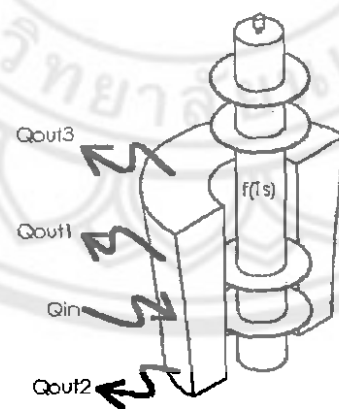
เทอร์โนไซฟอนกับหินขัดข้าวขาวซึ่งสามารถนำความสัมพันธ์นี้ไปคำนวณหาค่าอุณหภูมิของหินขัดข้าวขาวที่คาดว่าได้รับโดยสามารถคำนวณได้จากสมการ

$$Q_{in} = h_{\text{อากาศ}} A_{\text{ผิวนอก}} (T_{\text{หินขัด}} - T_{\text{อากาศ}}) + (T_{\text{หินขัด}} - T_{\text{อากาศ}}) / (1/k_{\text{หินขัด}} A_{\text{ผิวนอก}} + 1/h_{\text{อากาศ}} A_{\text{ผิวนอก}}) + \\ (T_{\text{หินขัด}} - T_{\text{อากาศ}}) / (1/k_{\text{หินขัด}} A_{\text{ผิวนอก}} + 1/h_{\text{อากาศ}} A_{\text{ผิวนอก}}) + f(T_{\text{หินขัด}})$$

ซึ่งฟังก์ชันความสัมพันธ์ที่เกิดขึ้นนี้คือความสัมพันธ์ของอัตราการถ่ายเทความร้อนของชุดเทอร์โนไซฟอนกับอุณหภูมิที่ให้ในส่วนของการทำระเหย



รูป 2.10 การถ่ายเทความร้อนของหินขัดข้าวขาวก่อนติดเทอร์โนไซฟอน



รูป 2.11 การถ่ายเทความร้อนของหินขัดข้าวขาวเมื่อติดเทอร์โนไซฟอน